

# Echinocandine und Surfactant Faktor



Markus Zeitlinger

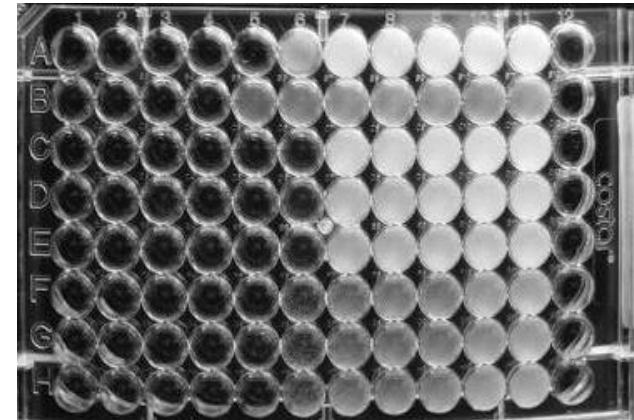
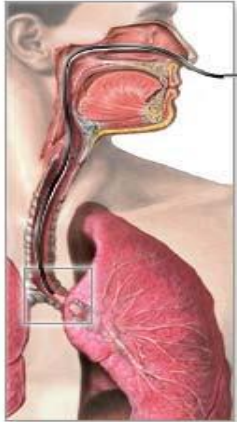
# Übersicht

- Wieso kommen wir auf die Idee?
- Die eingesetzten Methoden und Resultate
- Ausblick auf andere Kompartimente

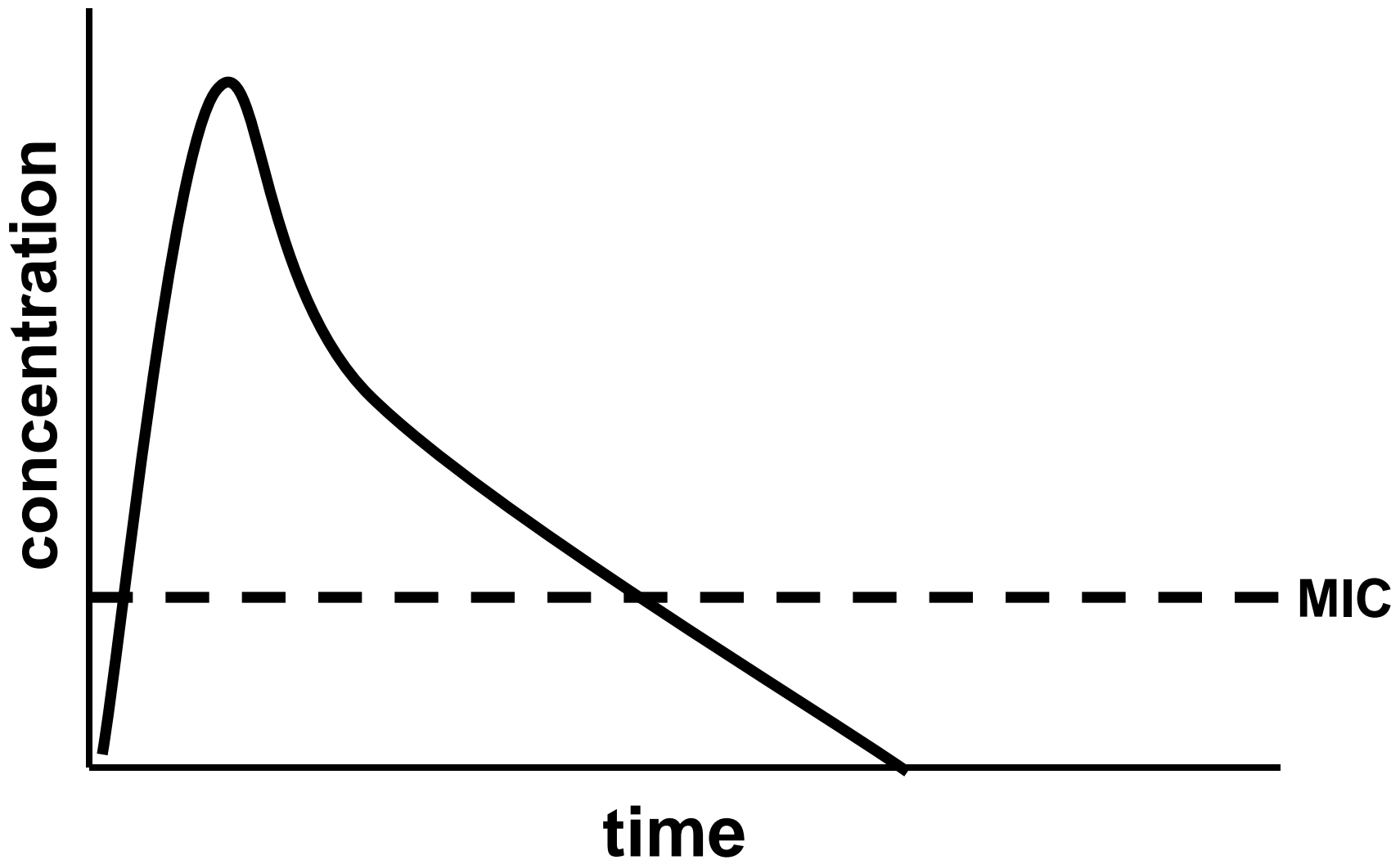
# Übersicht

- Wieso kommen wir auf die Idee?
- Die eingesetzten Methoden und Resultate
- Ausblick auf andere Kompartimente

# Wann ist eine Therapie adequat?



# PK/PD



# PK/PD Schussfolgerungen

[Antimicrob Agents Chemother.](#) 2010 Aug;54(8):3451-9. doi: 10.1128/AAC.01647-09. Epub 2010 May 3.

## **Intrapulmonary pharmacokinetics and pharmacodynamics of micafungin in adult lung transplant patients.**

[Walsh TJ<sup>1</sup>](#), [Goutelle S](#), [Jelliffe RW](#), [Golden JA](#), [Little EA](#), [DeVoe C](#), [Mickiene D](#), [Hayes M](#), [Conte JE Jr.](#)

We conclude that a single 150-mg intravenous dose of micafungin resulted in plasma, ELF, and AC concentrations that exceeded the MIC90 of *A. fumigatus* for 24 h... supporting its potential activity for prevention and early treatment of pulmonary aspergillosis.

[Antimicrob Agents Chemother.](#) 2009 Dec;53(12):5102-7. doi: 10.1128/AAC.01042-09. Epub 2009 Sep 21.

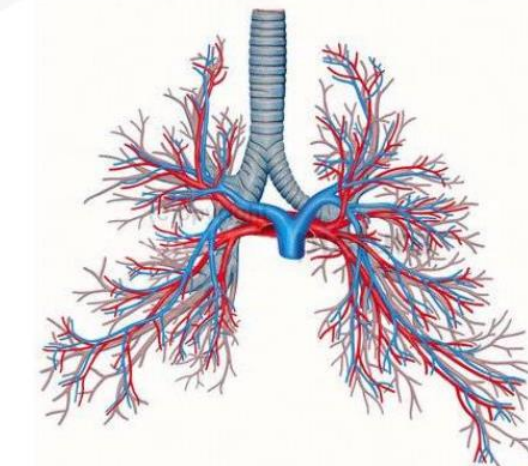
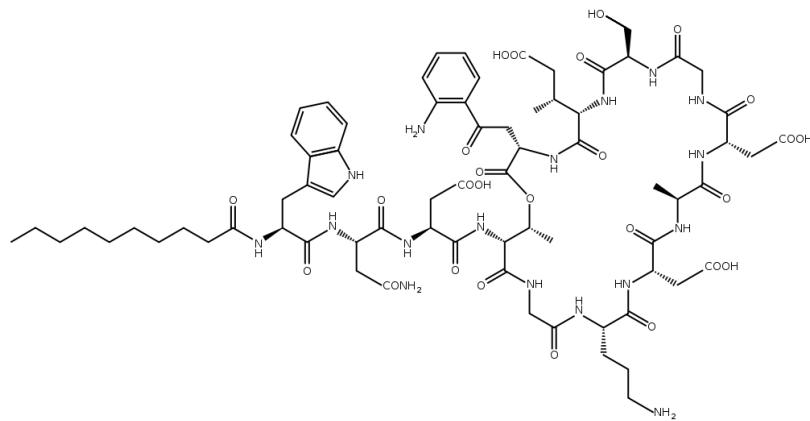
## **Bronchopulmonary disposition of intravenous voriconazole and anidulafungin given in combination to healthy adults.**

[Crandon JL<sup>1</sup>](#), [Banerjee MA](#), [Fang AF](#), [Crownover PH](#), [Knauf RF](#), [Pope JS](#), [Russomanno JH](#), [Shore E](#), [Nicolau DP](#), [Kuti JL](#).

The mean total concentrations of both drugs in ELF and AM at 4, 8, 12, and 24 h remained above the MIC(90)/90% minimum effective concentration for most *Aspergillus* species.

# Daptomycin

- Zugelassen für Haut und Weichteilinfekte
- Non-inferiority für Pneumonie (CAP) verfehlt
- Erste Beispiel für Organ spezifische Inhibierung eines Antibiotikums



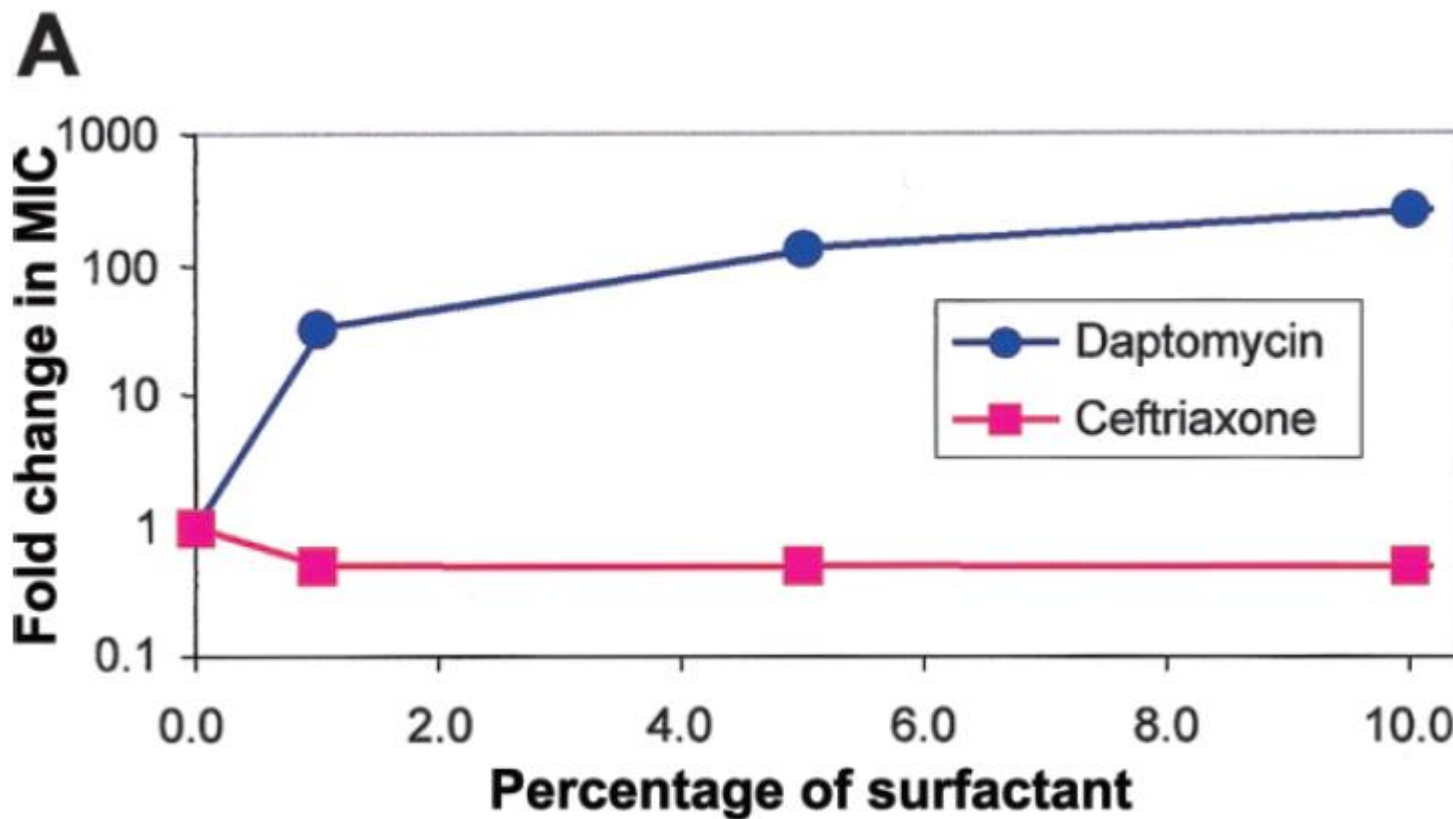
# Daptomycin Tiermodel

**Table 1. Daptomycin efficacy in pulmonary infection models.**

Model	Organism	Daptomycin		Comparator	
		Dose, mg/kg	Log reduction	Drug (dose, mg/kg)	Log reduction
Mouse BAP	<i>S. pneumoniae</i>	100	0.1 ± 0.13	Ceftriaxone (50)	4.5 ± 0.28
Mouse BAP	MRSA	100	0 ± 0.4	...	...
Rat HP	MRSA	50	2.1 ± 0.56	Vancomycin (100)	1.3 ± 1.19
Rat HP	<i>S. aureus</i>	75	2.2 ± 1.0	Nafcillin (150)	1.5 ± 0.62

**NOTE.** Data are expressed as reduction in bacterial burden in the infected organ, compared with that in untreated, infected controls. For bronchial-alveolar pneumonia (BAP), mice were treated at 1 and 4 h after infection, and lungs were harvested 24 h after infection. For hematogenous pneumonia (HP), rats were treated once daily (daptomycin and vancomycin) or twice daily (nafcillin) for 6 days after infection, and lungs were harvested on day 7. MRSA, methicillin-resistant *Staphylococcus aureus*; *S. pneumoniae*, *Staphylococcus pneumoniae*.

# In-vitro MIC





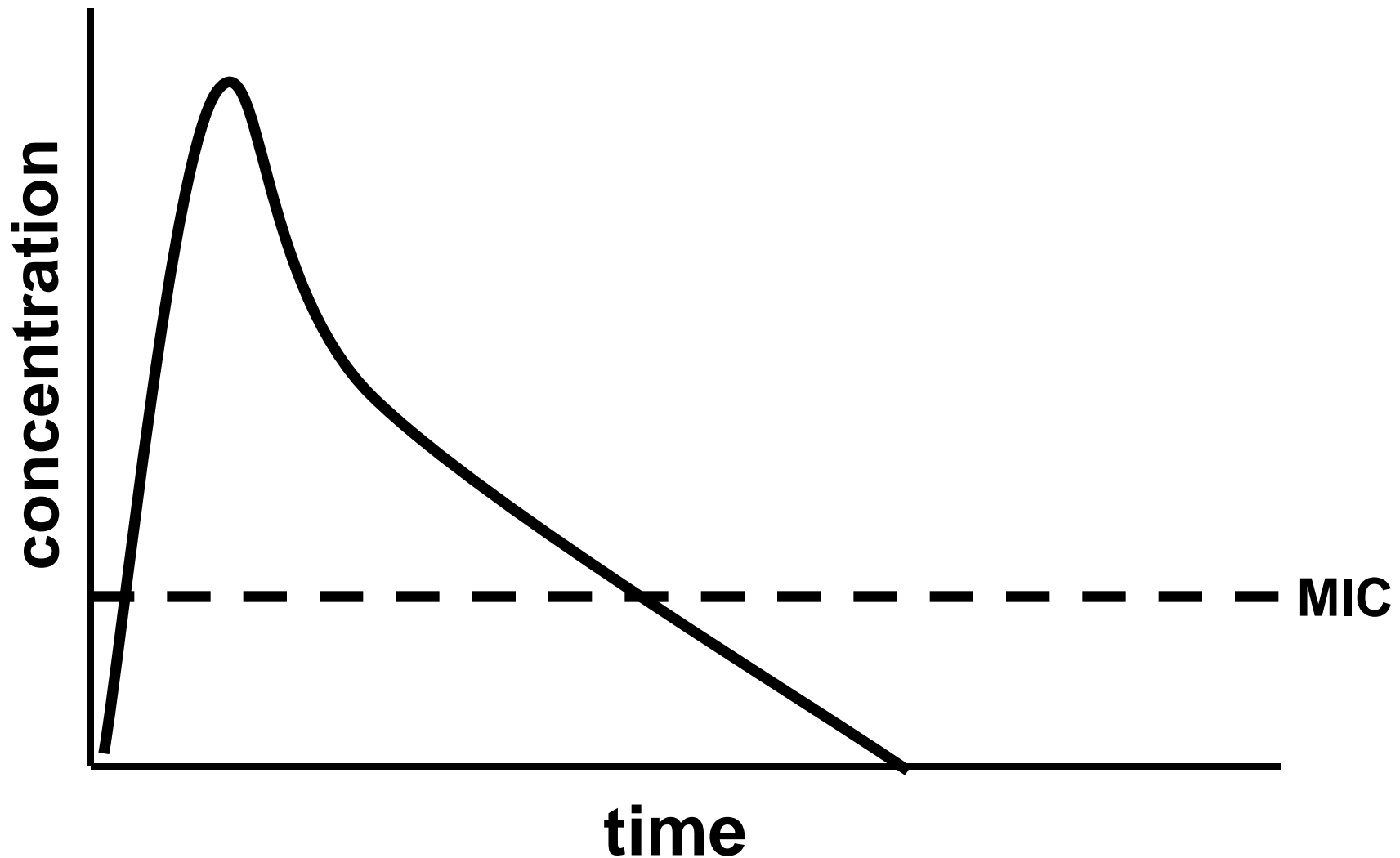
## Effect of Pulmonary Surfactant on Antimicrobial Activity *In Vitro*

R. Schwameis,<sup>a</sup> Z. Erdogan-Yildirim,<sup>a</sup> M. Manaf,<sup>b</sup> M. A. Zeitlinger,<sup>a</sup> S. Strommer,<sup>a</sup> R. Sauermann<sup>a,c</sup>

Department of Clinical Pharmacology, Medical University of Vienna, Vienna, Austria<sup>a</sup>; Institute of Hygiene and Applied Immunology, Medical University of Vienna, Vienna, Austria<sup>b</sup>; Main Association of Austrian Social Security Institutions, Vienna, Austria<sup>c</sup>

Time-kill curve experiments were performed with linezolid, doripenem, tigecycline, moxifloxacin, and daptomycin against *Staphylococcus aureus* and with colistin, moxifloxacin, and doripenem against *Pseudomonas aeruginosa* to evaluate the effect of porcine pulmonary surfactant on antimicrobial activity. Pulmonary surfactant significantly impaired the activities of moxifloxacin and colistin. When antibiotics are being developed for respiratory tract infections, the method described here might be used to preliminarily quantify the effect of pulmonary surfactant on antimicrobial activity.

# Klinische Resistenz



# Übersicht

- Wieso kommen wir auf die Idee?
- Die eingesetzten Methoden und Resultate
- Ausblick auf andere Kompartimente

# Materialien

## Antifungale Substanzen

Micafungin (MCF), Caspofungin (CPF), Anidulafungin (ANI)  
Voriconazole (VCZ), Amphotericin B

## Stämme

*C. krusei* ATCC 6258  
*C. albicans* ATCC 90028  
sowie jeweils 9 klinische Isolate

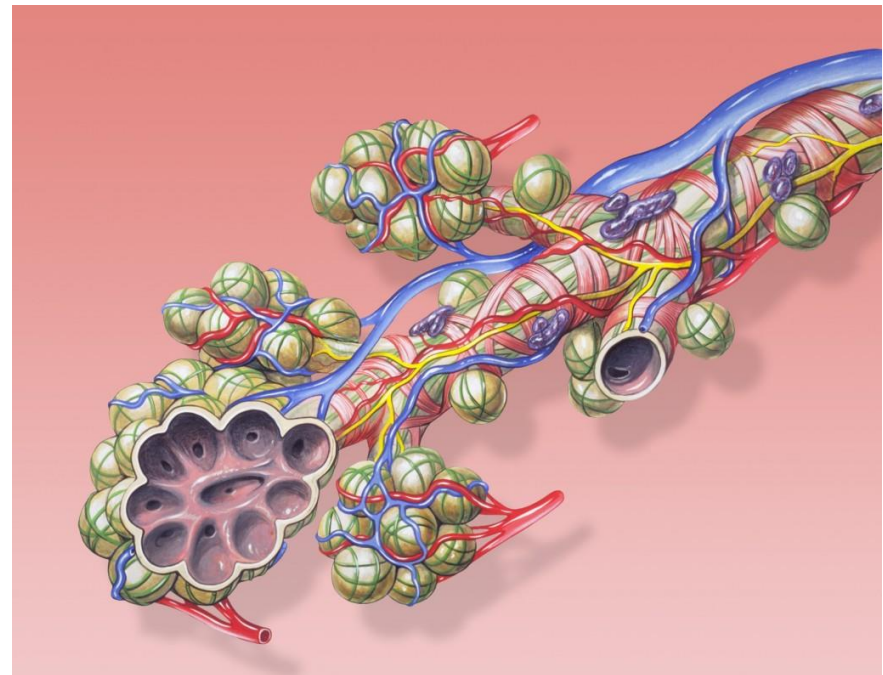
## Medien

Roswell Park Memorial Institute (RPMI)  
Sabouraud-dextrose broth (SDB)  
Curosurf



# Pulmonary Surfactant

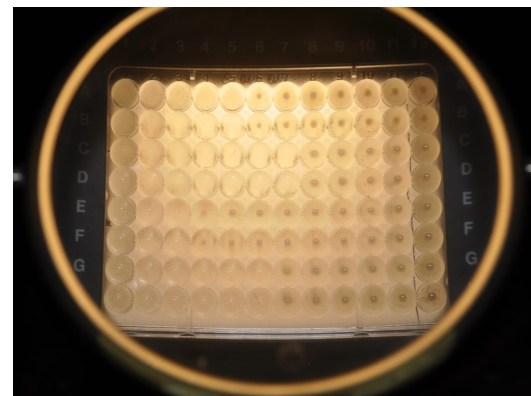
- 40% Dipalmitoylphosphatidylcholine (DPPC)
- 40% other phospholipids
- 5% surfactant associated proteins (SP-A,B,C and D)
- neutral lipids (cholesterol)



# Methoden I

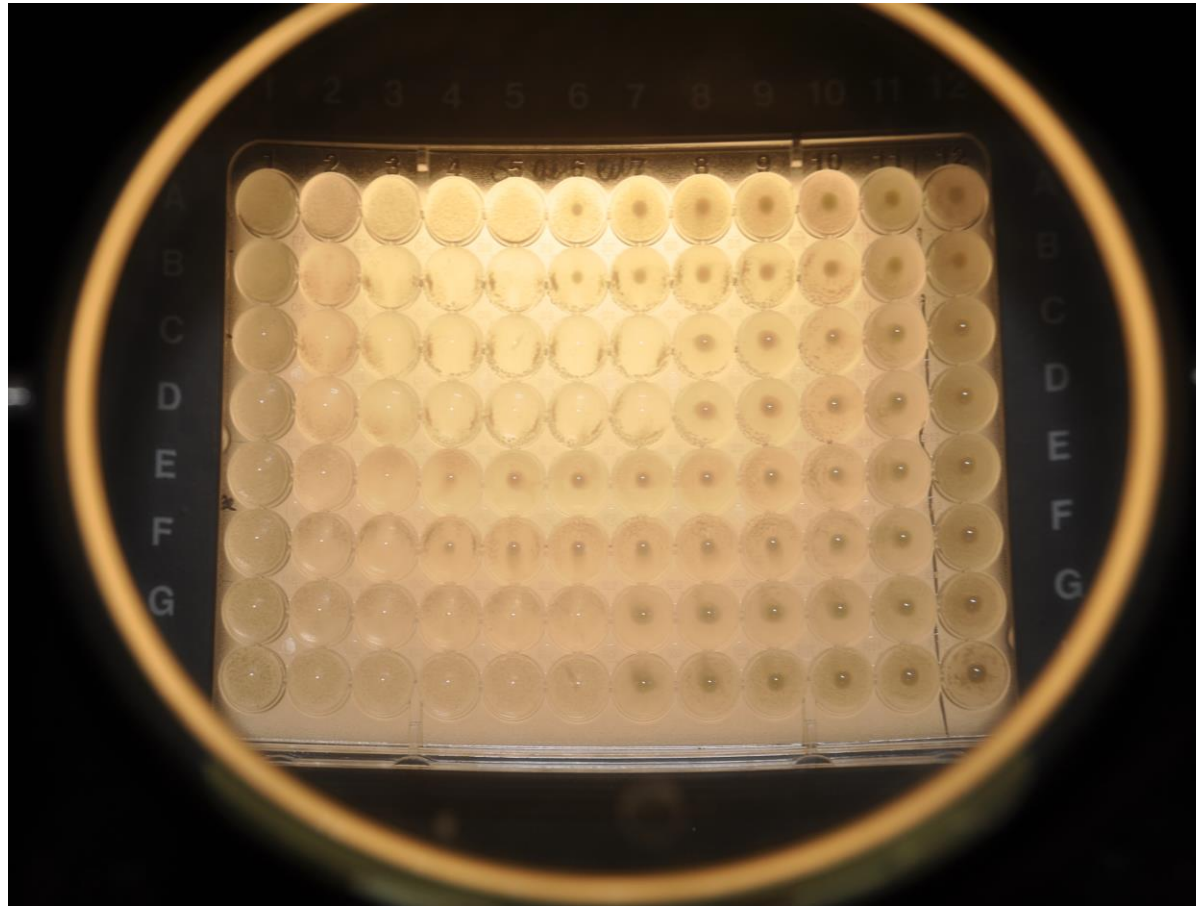
Mikrodilutionstest in  
RPMI Medium  
entsprechend EUCAST

MIC als 50% Reduction  
in Pilzwachstum



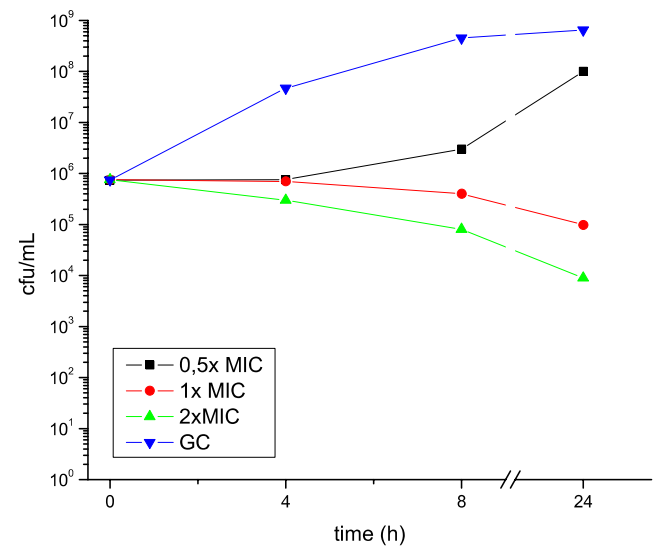
Minimal Inhibitory  
Concentration (MIC)

# Nachteil MIC



Minimal Inhibitory Concentration (MIC)

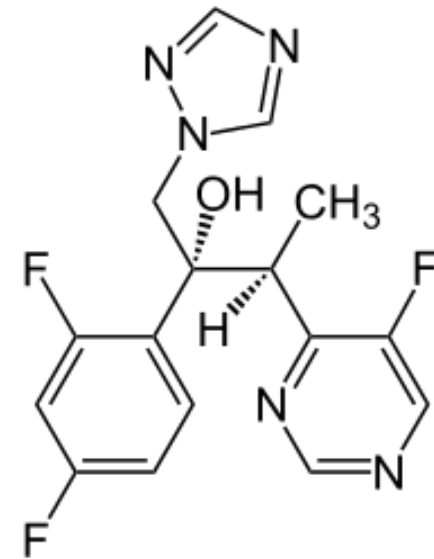
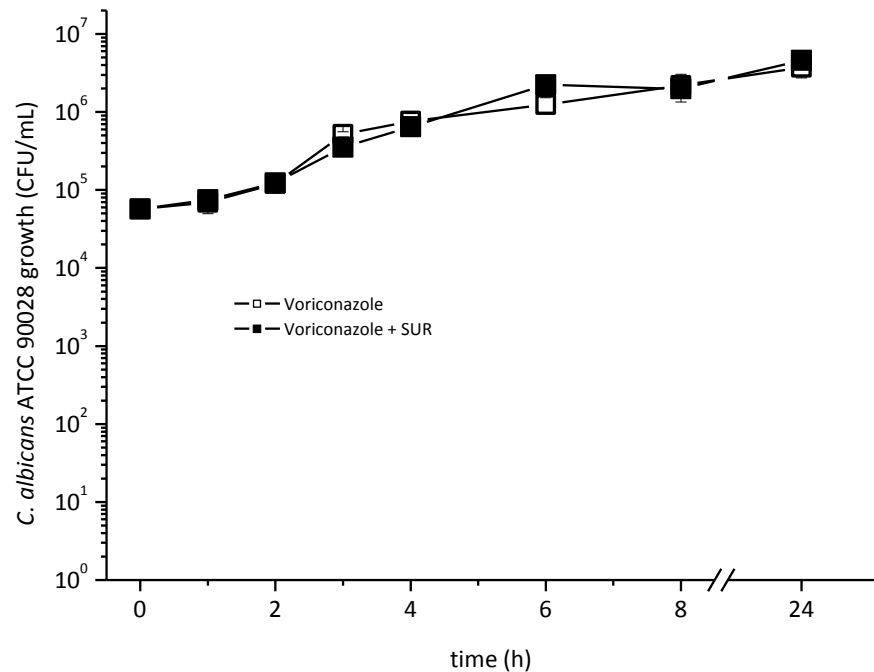
# Methode II



Time Kill Curves in Sabouraud-dextrose Medium  
Konzentrationen entsprechend der jeweiligen MIC der Stämme

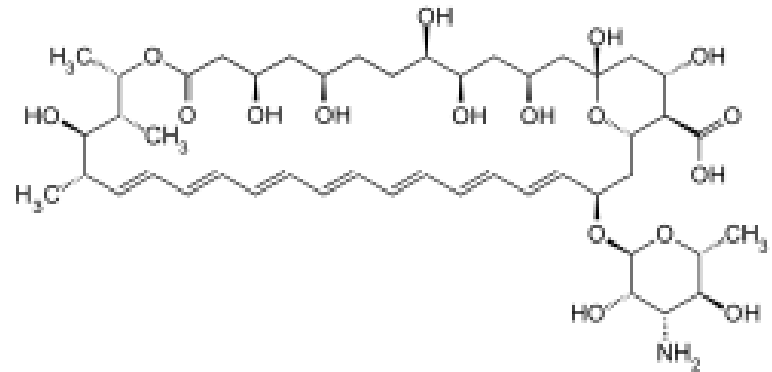
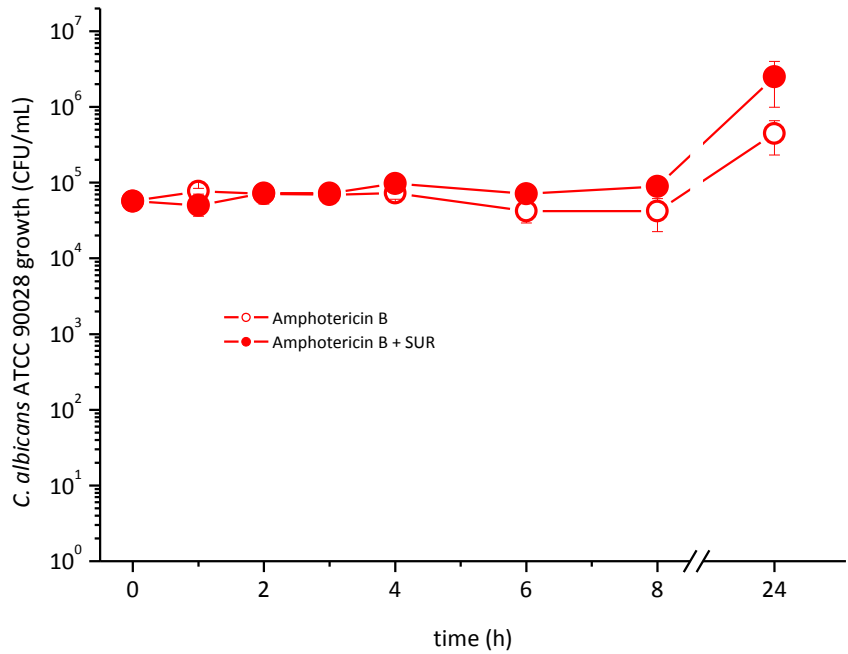
# Voriconazol (*C. albicans*)

**Voriconazol**



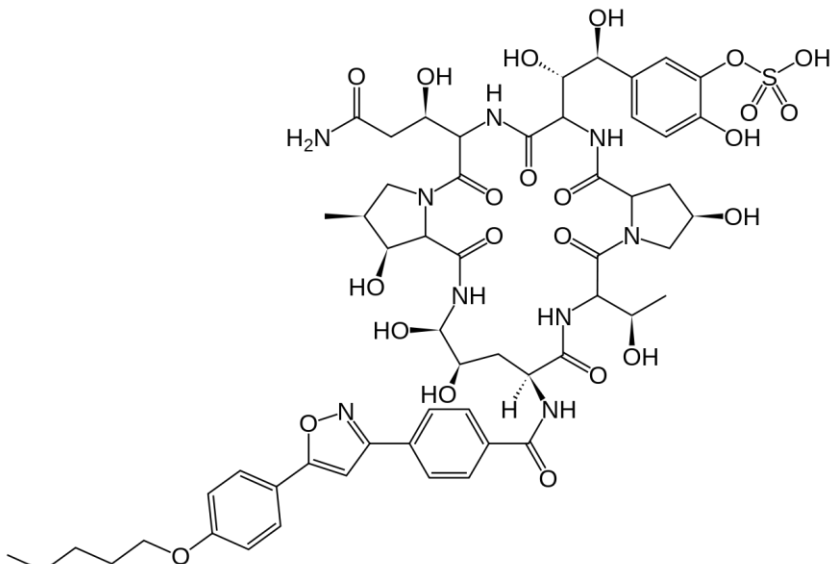
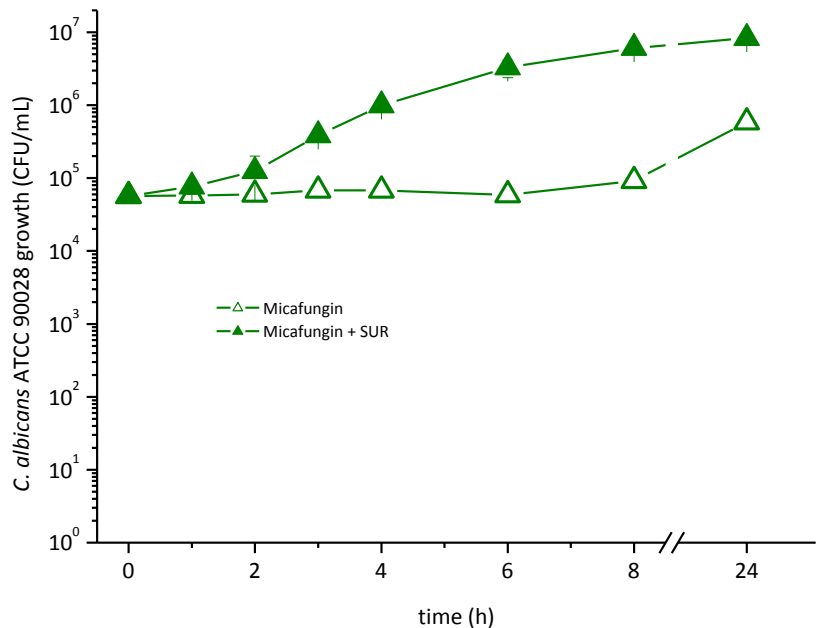
# Amphotericin B (*C. albicans*)

**Amphotericin B**



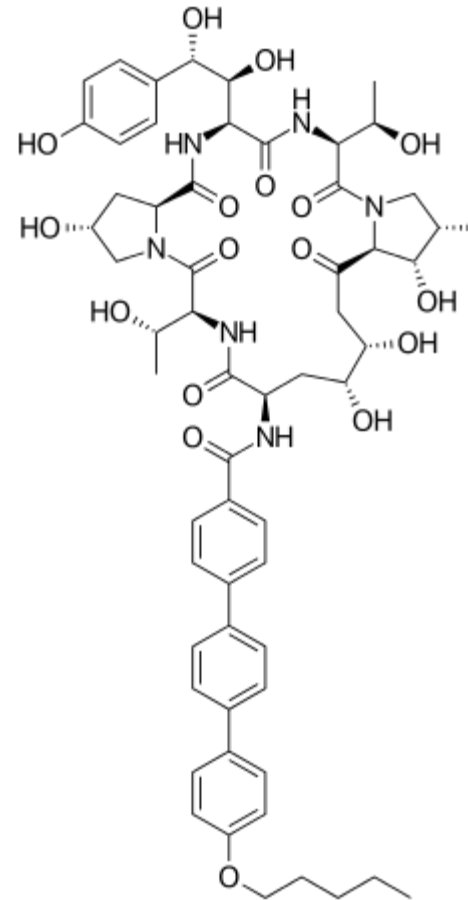
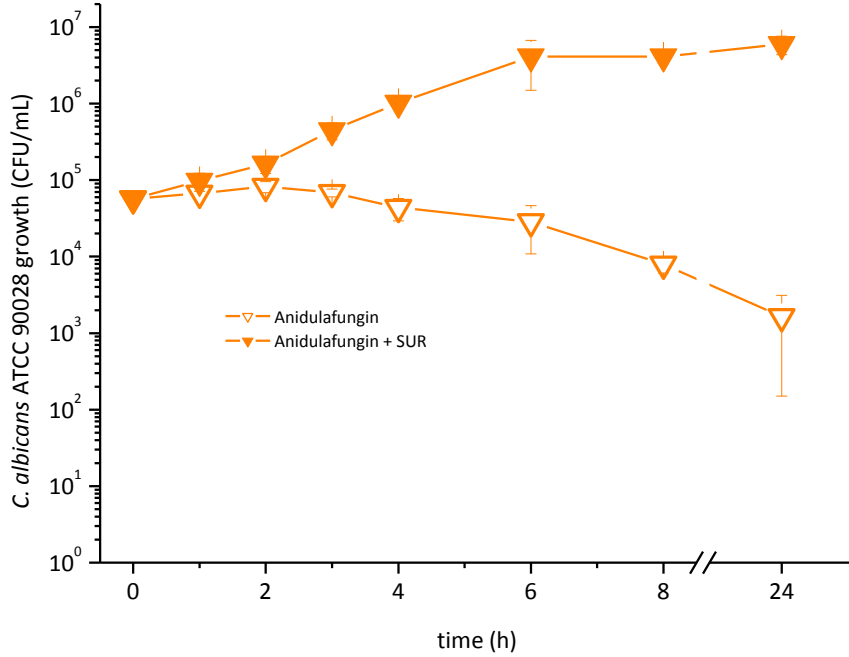
# Micafungin (*C. albicans*)

Micafungin



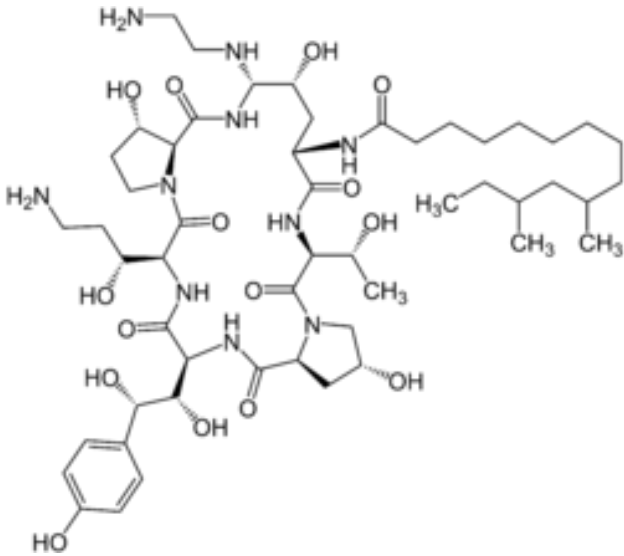
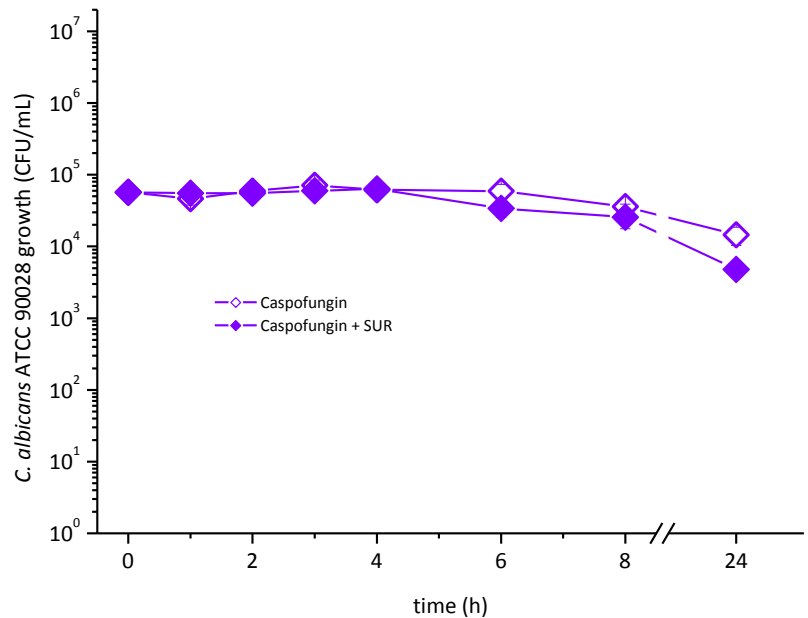
# Anidulafungin (*C. albicans*)

Anidulafungin

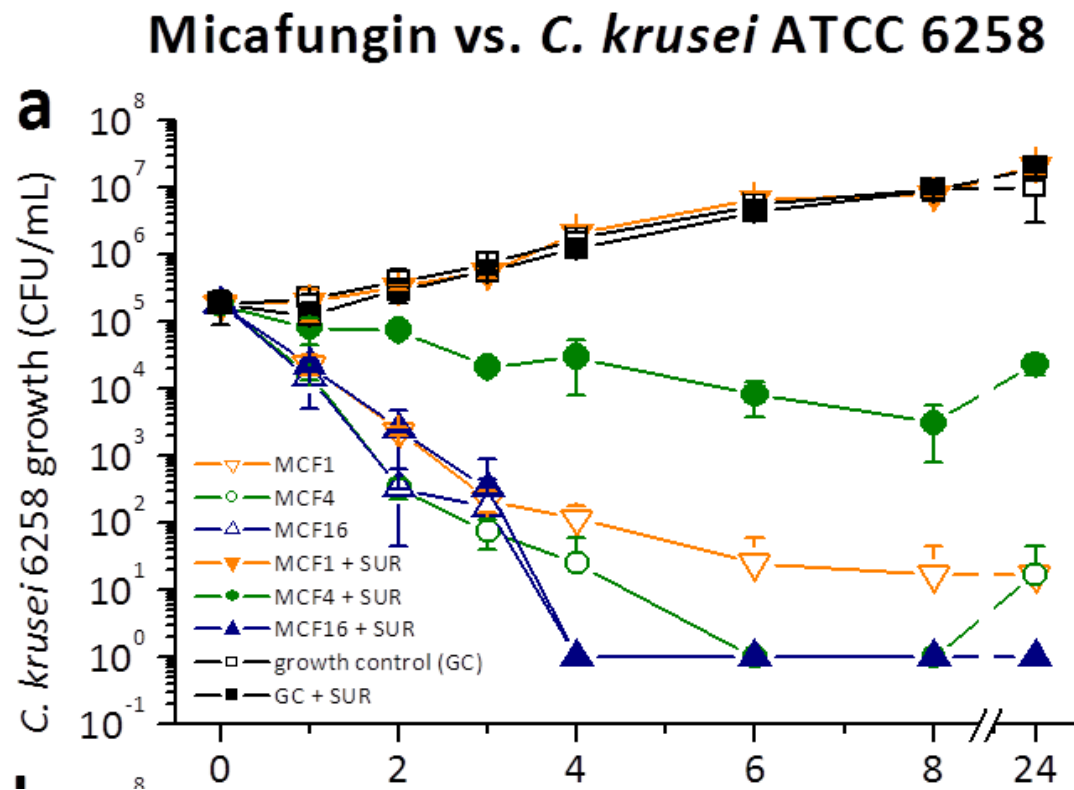


# Caspofungin (*C. albicans*)

**Caspofungin**



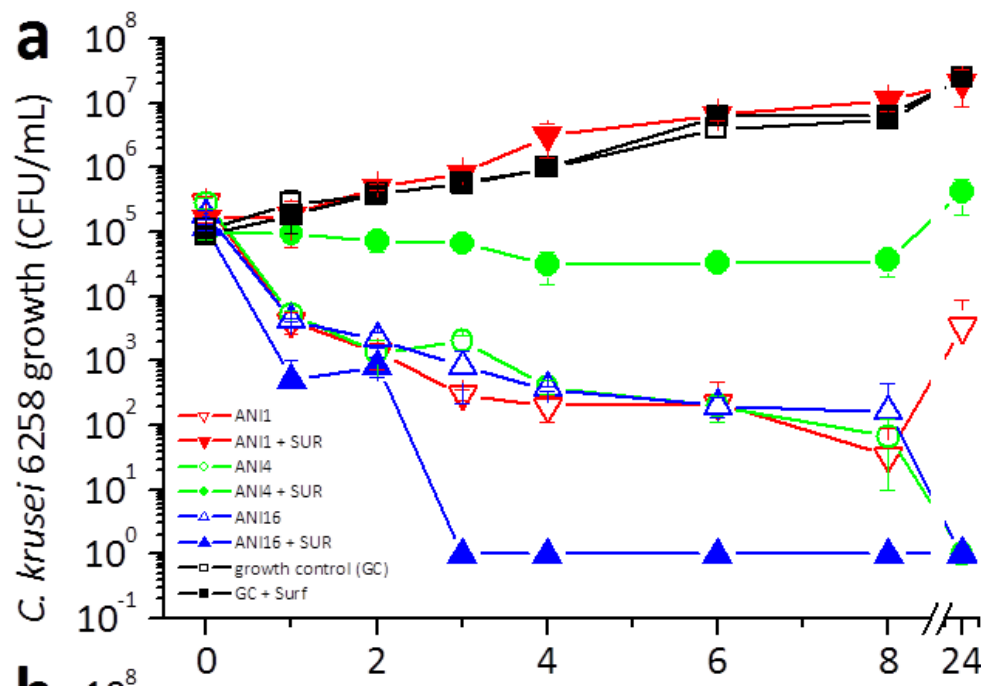
# Abhangigkeit von AB Konzentration (Micafungin, *C. krusei*)



Konzentrationen entsprechend der 1, 4, 16x MIC des Stammes

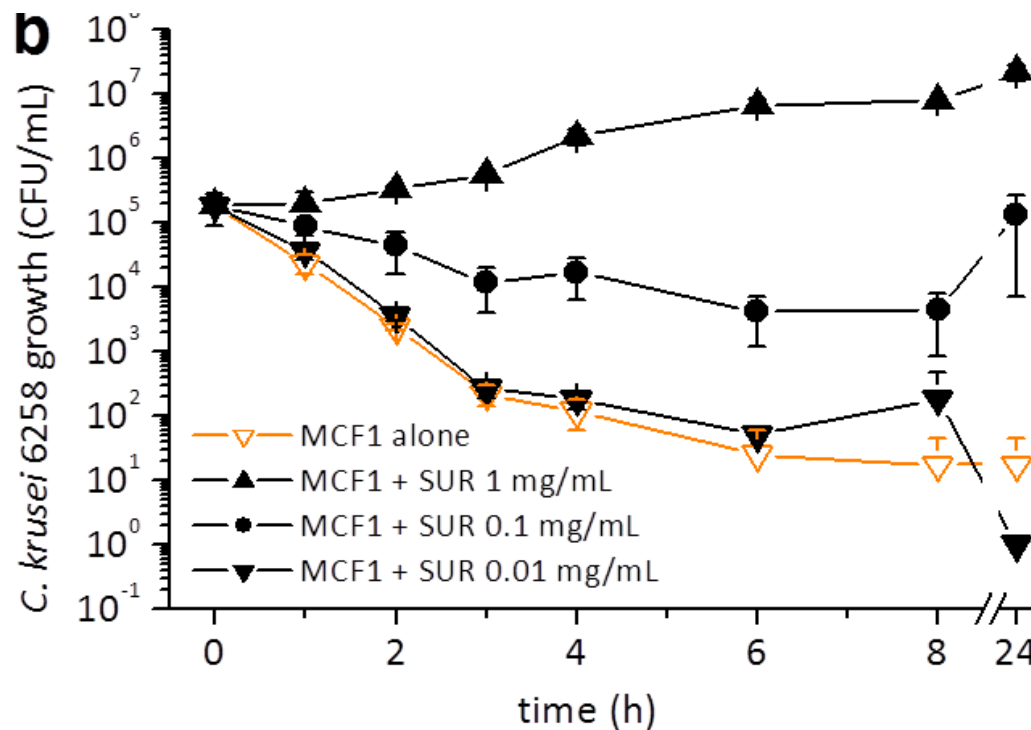
# Abhangigkeit von AB Konzentration (Anidulafungin, *C. krusei*)

Anidulafungin vs. *C. krusei* ATCC 6258



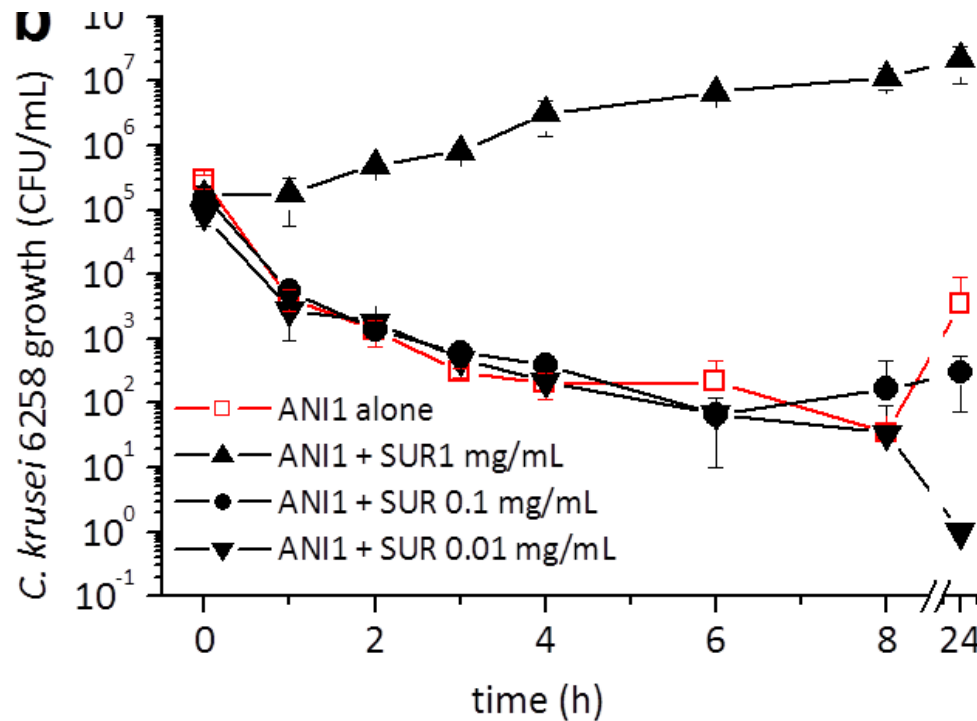
Konzentrationen entsprechend der 1, 4, 16x MIC des Stammes

# Abhangigkeit Konz. Surfactant (Micafungin, *C. krusei*)



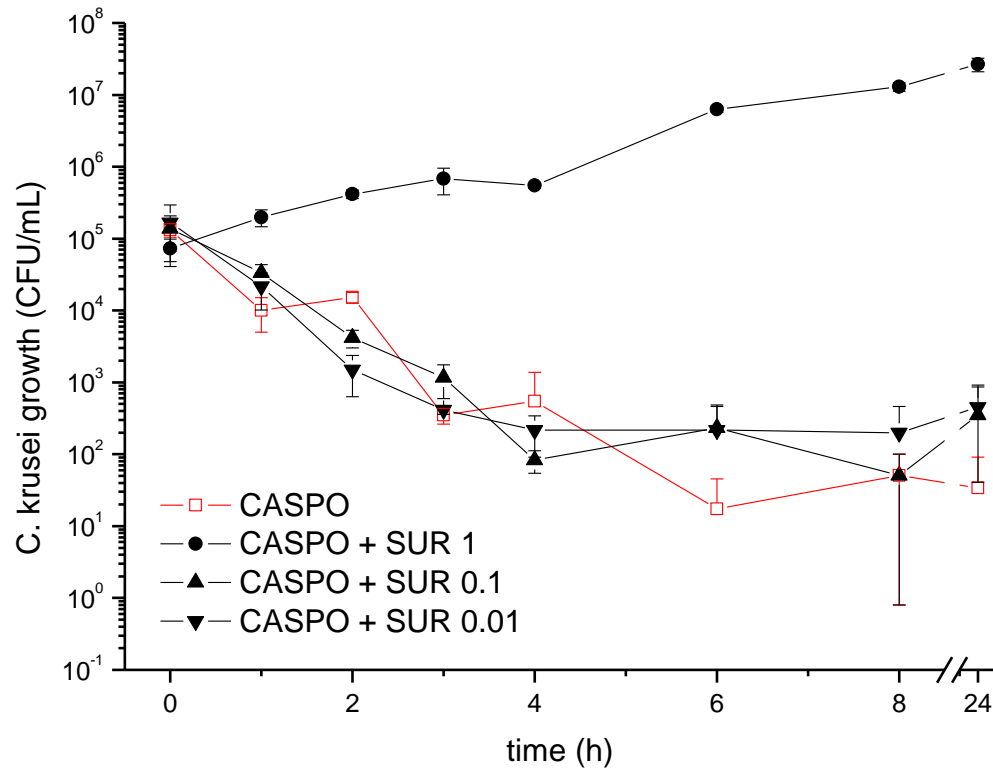
Konzentrationen entsprechend der 1x MIC des Stammes;  
3 Surfactant Konzentrationen

# Abhangigkeit Konz. Surfactant (Anidulafungin, *C. krusei*)



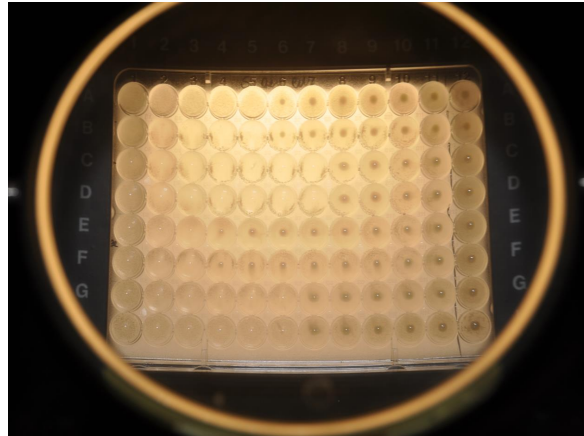
Konzentrationen entsprechend der 1x MIC des Stammes  
3 Surfactant Konzentrationen

# Abhangigkeit Konz. Surfactant (Caspofungin, *C. krusei*)



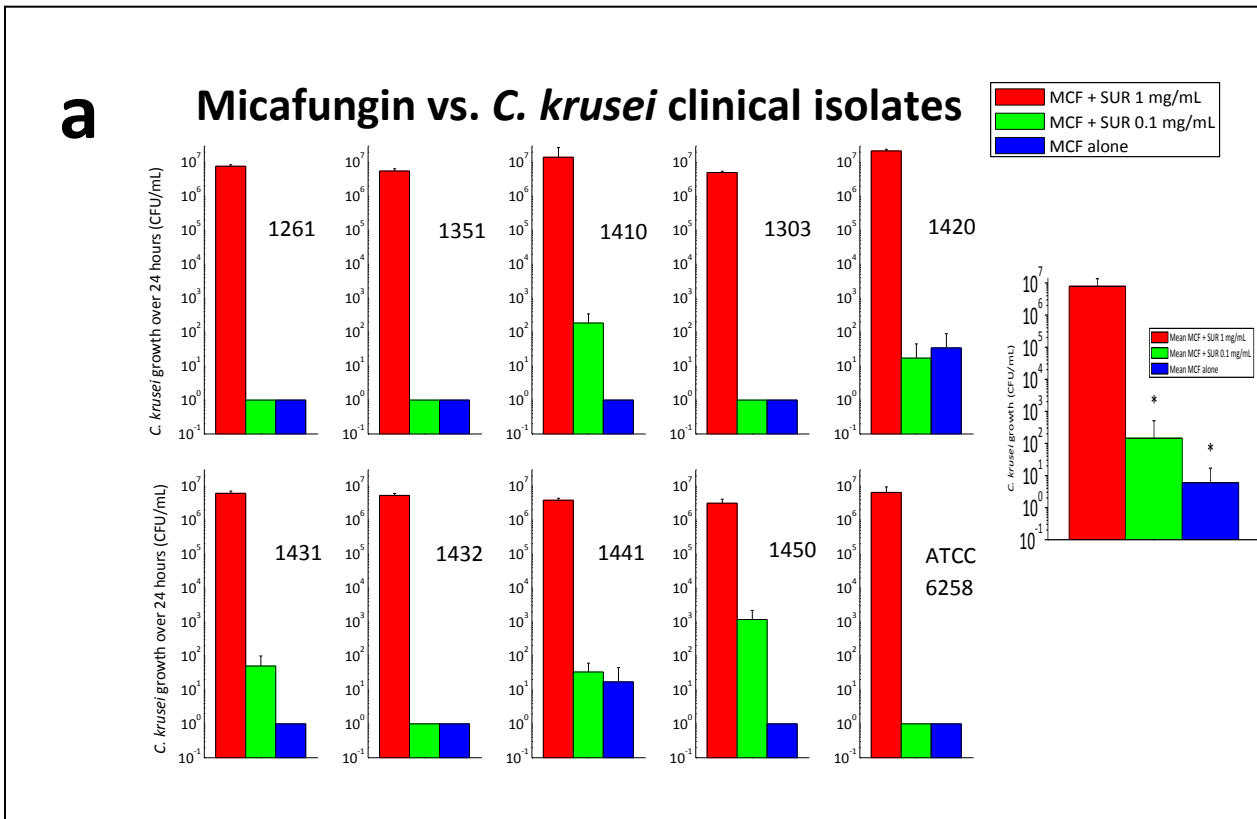
Konzentrationen entsprechend der 1x MIC des Stammes  
3 Surfactant Konzentrationen

# Methode III

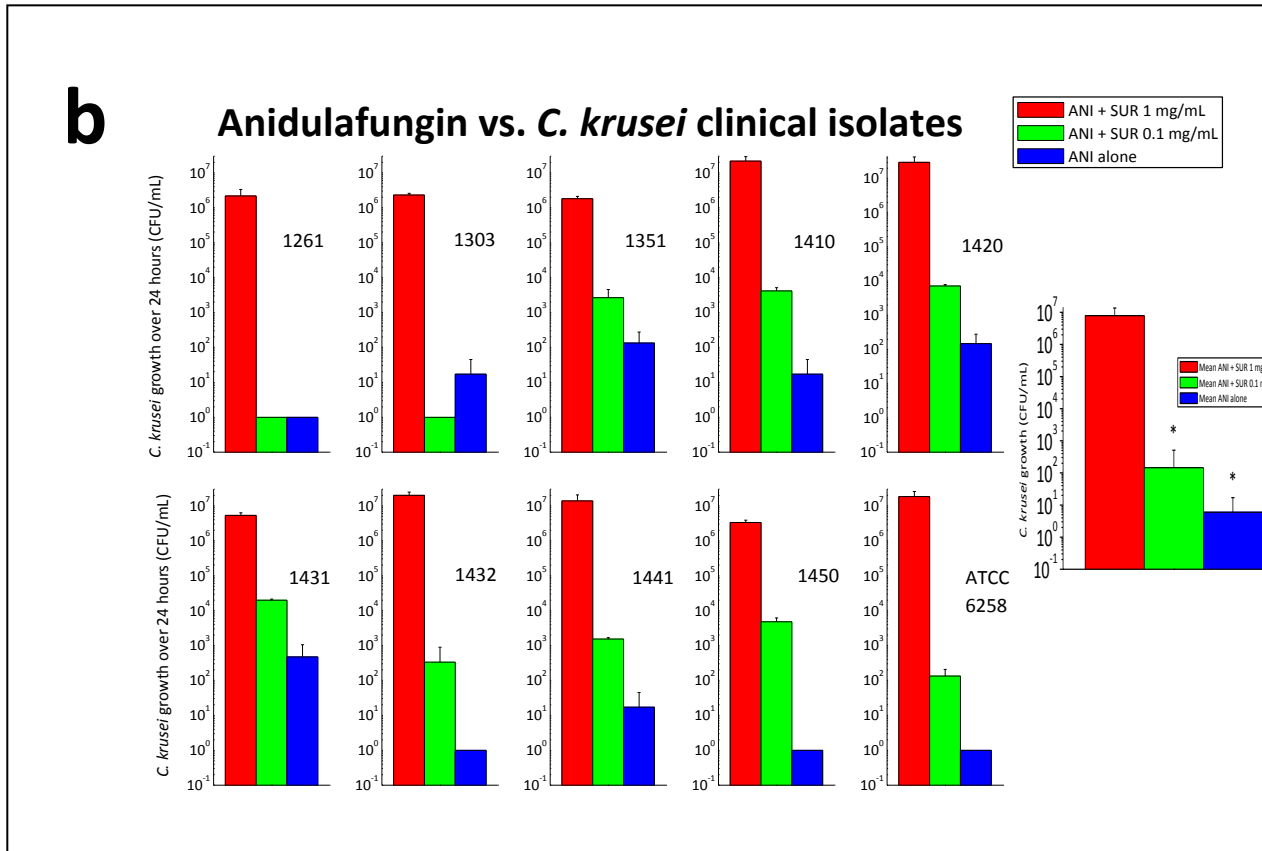


24 Stunden statisches dynamisches Model in Sabouraud-dextrose Medium,  
unterschiedliche Surfactant Konzentrationen,  
Antifungale Konzentration entsprechend 4x MIC

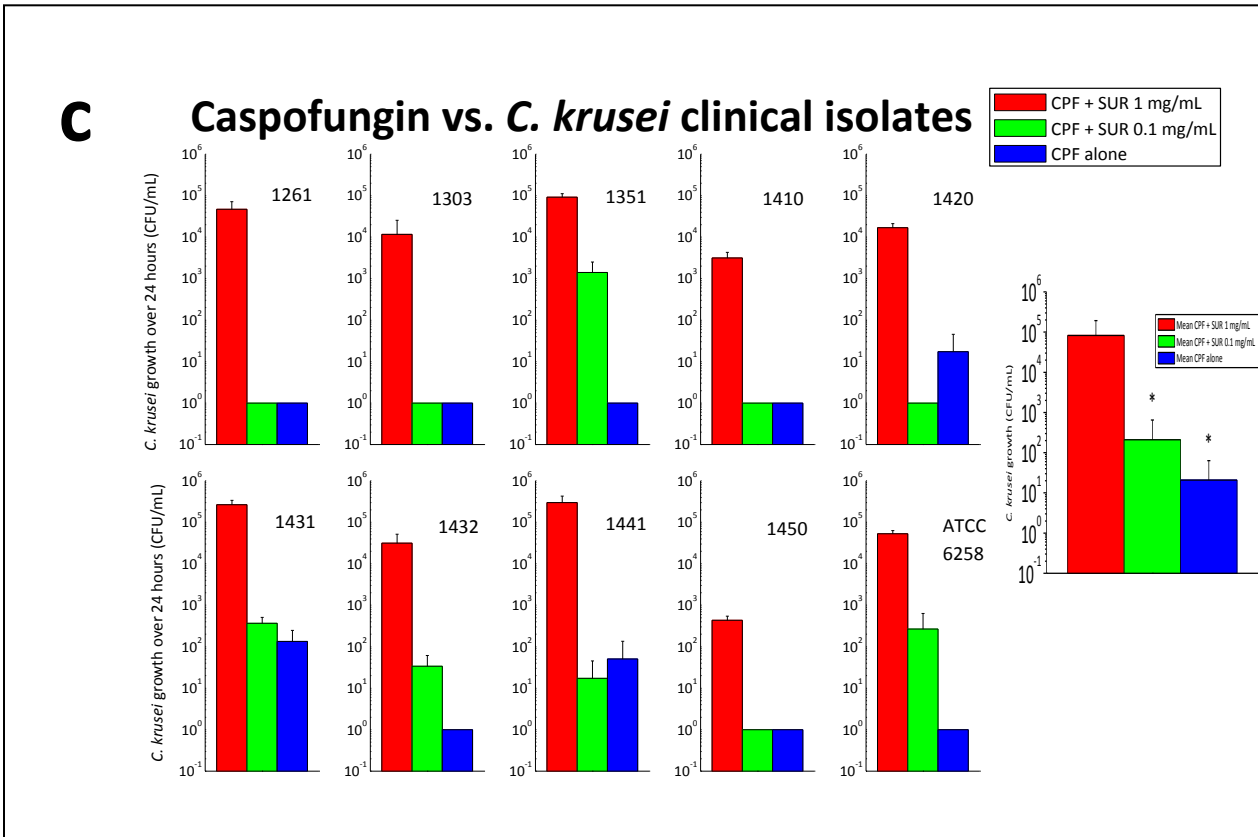
# Micafungin (*C. krusei*)



# Anidulafungin (*C. krusei*)



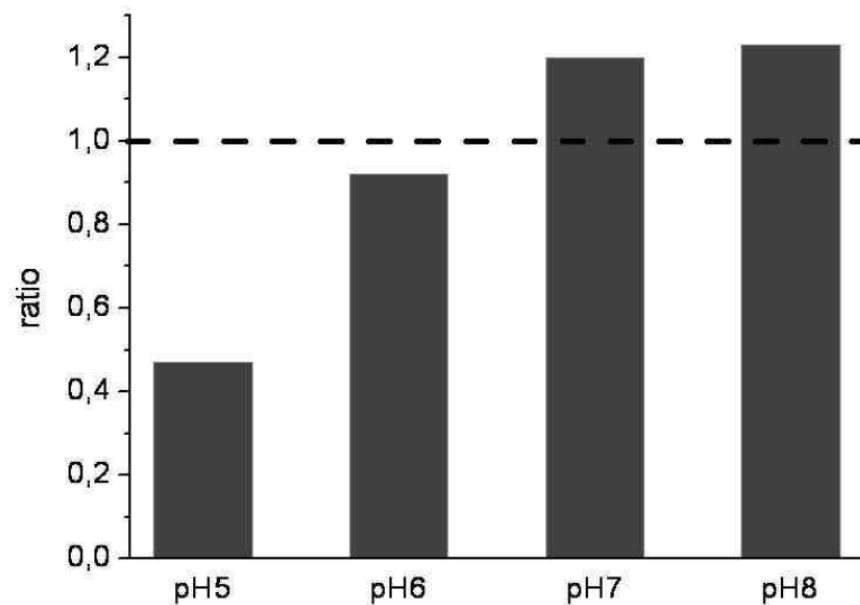
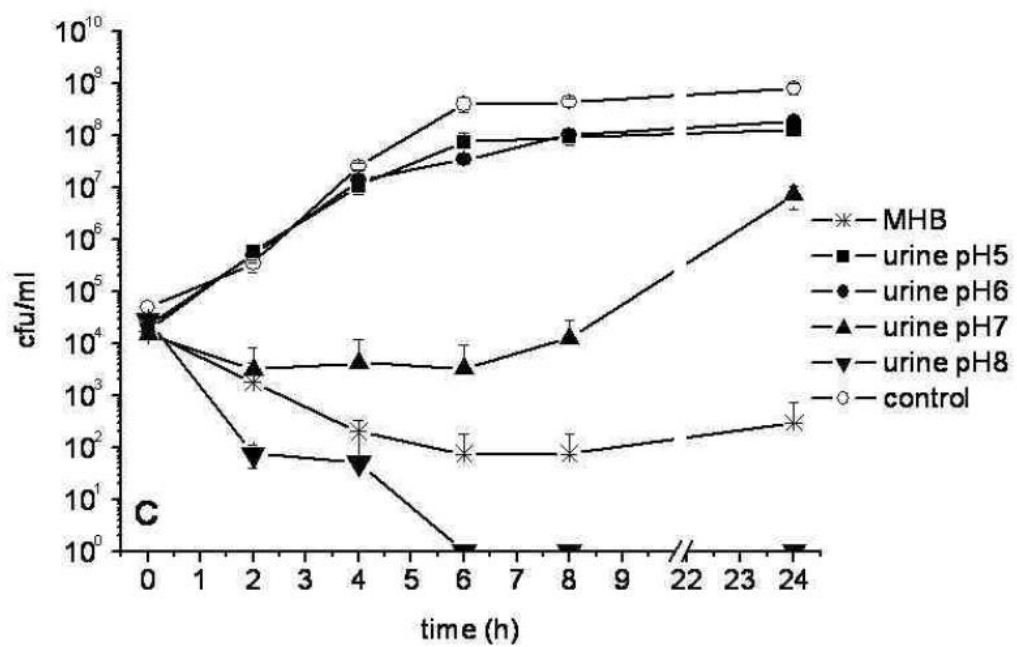
# Caspofungin (*C. krusei*)



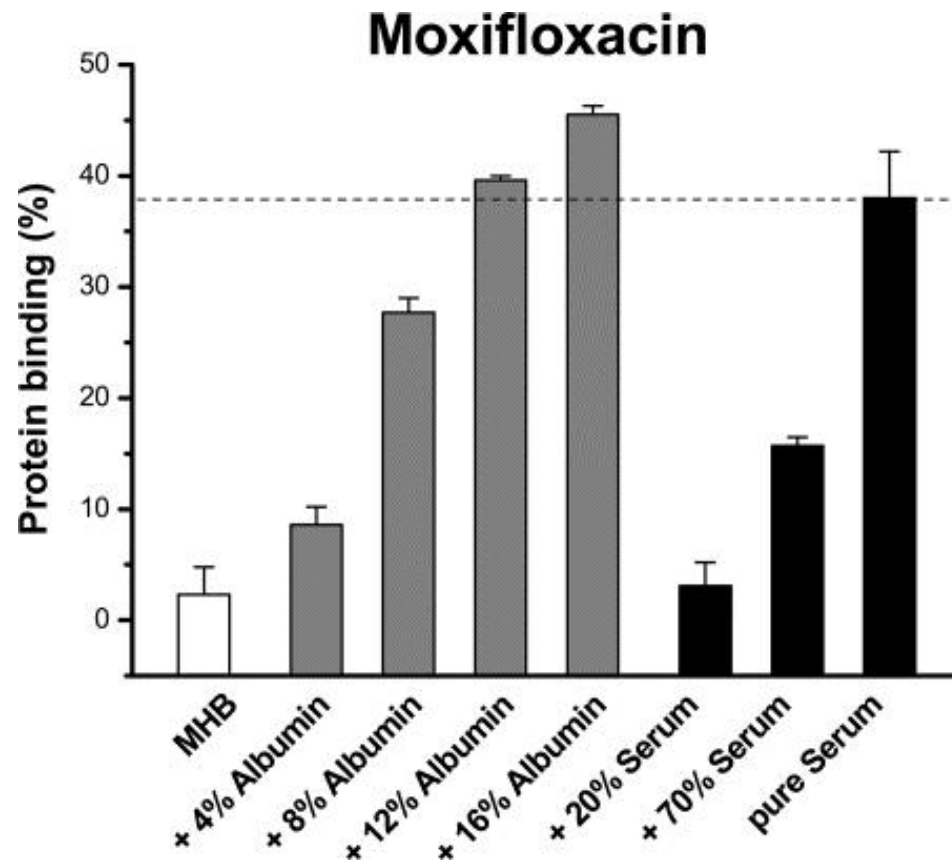
# Übersicht

- Wieso kommen wir auf die Idee?
- Die eingesetzten Methoden und Resultate
- Ausblick auf andere Kompartimente

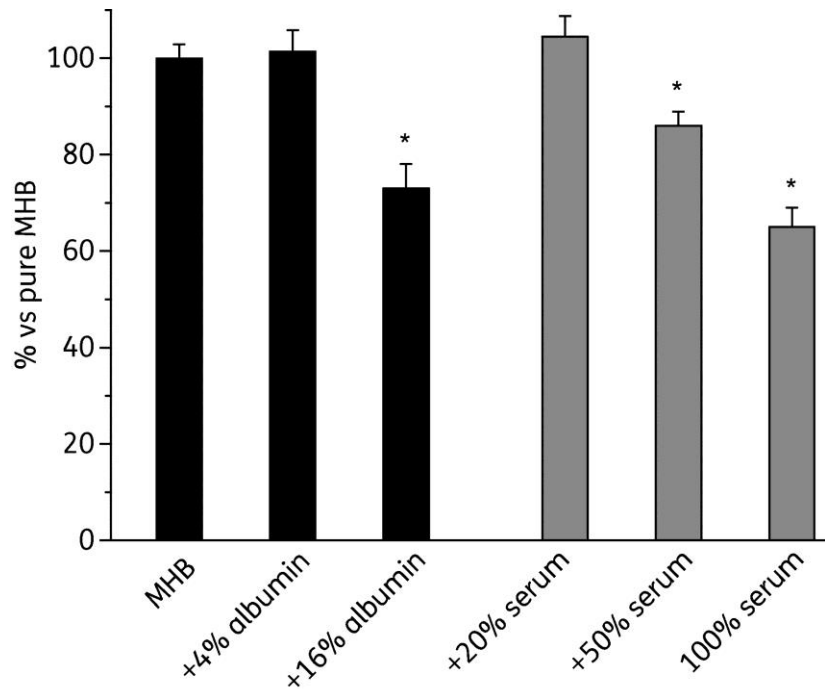
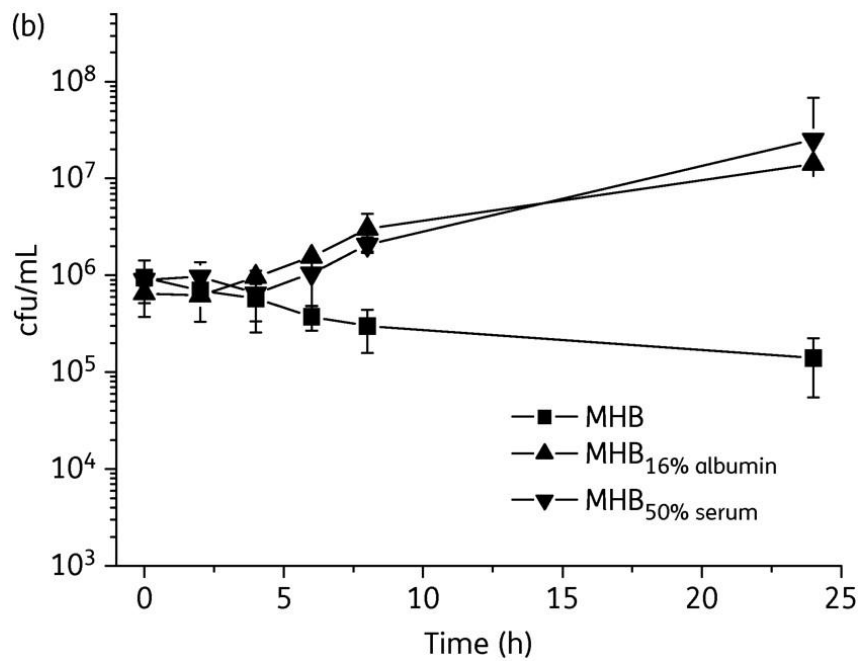
# pH Einfluss (Moxifloxacin)



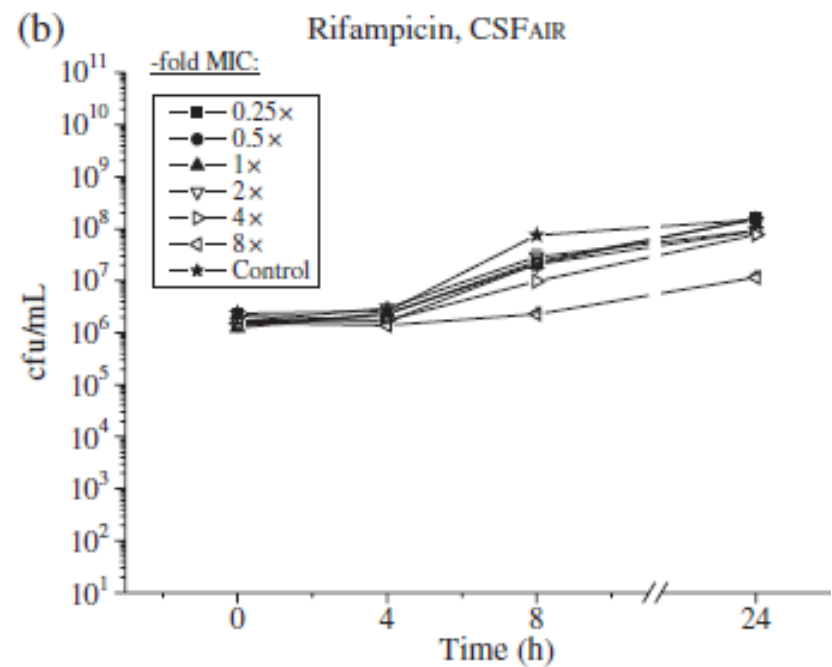
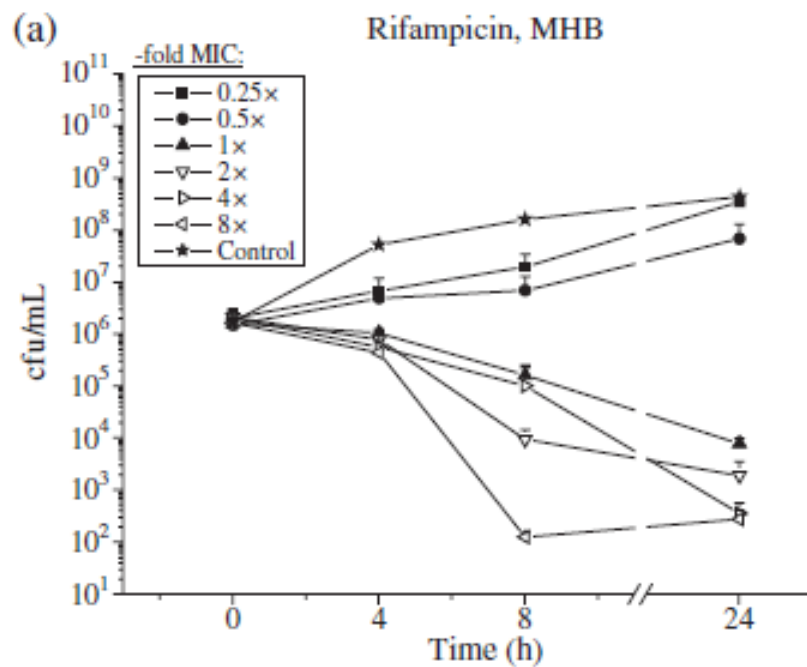
# Protein Bindung



# Einfluss Protein Bindung



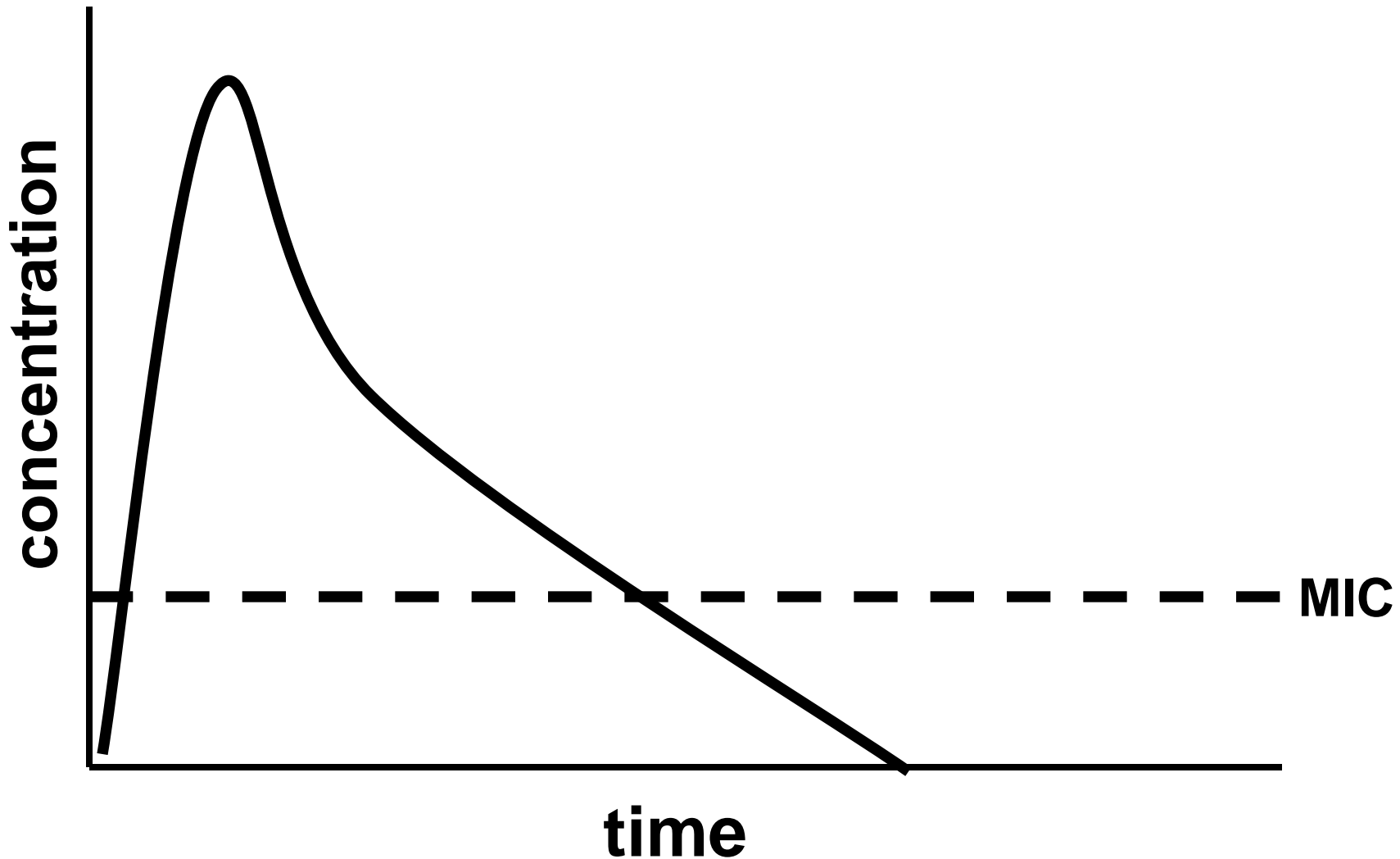
# Cerebrospinal Flüssigkeit

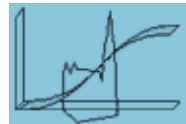


# Zusammenfassung

- Zugabe von Surfactant hatte signifikanten Effekt auf antifungale Wirksamkeit von Echinocandinen
- Abhängigkeit von Konz. des Echinocandins
- Abhängigkeit von Konz. von Surfactant
- Potentiell auch andere Einflusse im Körper

# PK/PD





# Department of Clinical Pharmacology

“Linking University Creativity to Industry Professionalism”

